

KAISERL. AKADEMIE DER WISSENSCHAFTEN IN WIEN.

MITTEILUNGEN
DER
ERDBEBEN-KOMMISSION

DER KAISERLICHEN
AKADEMIE DER WISSENSCHAFTEN IN WIEN.

NEUE FOLGE.

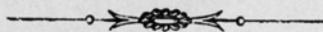
N^o. XXX.

ERDBEBENSTÖRUNGEN ZU TRIEST,

BEOBACHTET AM REBEUR-EHLERT'SCHEN HORIZONTALPENDEL
IM JAHRE 1903, NEBST EINER ÜBERSICHT DER BISHERIGEN FÜNF-
JÄHRIGEN BEOBACHTUNGSREIHE

VON

EDUARD MAZELLE,
REFERENT DER ERDBEBEN-KOMMISSION.



. WIEN, 1906.

AUS DER KAISERLICH-KÖNIGLICHEN HOF- UND STAATSDRUCKEREI

IN KOMMISSION BEI ALFRED HÖLDER,
K. U. K. HOF- UND UNIVERSITÄTSBUCHHÄNDLER,
BUCHHÄNDLER DER KAISERLICHEN AKADEMIE DER WISSENSCHAFTEN.

Die »Mitteilungen der Erdbeben-Kommission« erschienen bisher in den Sitzungsberichten der mathem.-naturw. Klasse, Abteilung I. Von nun an werden sie als besondere Ausgabe veröffentlicht werden.

Bisher sind folgende Nummern der »Mitteilungen« ausgegeben worden:

- I. Bericht über die Organisation der Erdbeben-Beobachtung nebst Mitteilungen über während des Jahres 1896 erfolgte Erdbeben, zusammengestellt von Edmund v. Mojsisovics (Sitz. Ber., Bd. 106 [1897], Abt. I, Heft II) — K 60 h.
- II. Bericht über das Erdbeben von Brüx am 3. November 1896, von Friedrich Becke (Sitz. Ber., Bd. 106 [1897], Abt. I, Heft II) — K 50 h.
- III. Bericht über das Erdbeben vom 5. Jänner 1897 im südlichen Böhmerwalde, von Friedrich Becke (Sitz. Ber., Bd. 106 [1897], Abt. I, Heft III) . . . — K 40 h.
- IV. Bericht über die im Triester Gebiete beobachteten Erdbeben am 15. Juli, 3. August und 21. September 1897, von Eduard Mazelle (Sitz. Ber., Bd. 106 [1897], Abt. I, Heft IX) — K 40 h.
- V. Allgemeiner Bericht und Chronik der im Jahre 1897 innerhalb des Beobachtungsgebietes erfolgten Erdbeben, zusammengestellt von Edmund v. Mojsisovics (Sitz. Ber., Bd. 107 [1898], Abt. I, Heft V) 3 K 40 h.
- VI. Die Erderschütterungen Laibachs in den Jahren 1851 bis 1886, vorwiegend nach den handschriftlichen Aufzeichnungen K. Deschmanns, von Ferdinand Seidl (Sitz. Ber., Bd. 107 [1898], Abt. I, Heft VI) — K 50 h.
- VII. Verhalten der Karlsbader Thermen während des voigtländisch-westböhmisches Erdbebens im Oktober—November 1897, von Josef Knett (Sitz. Ber., Bd. 107 [1898], Abt. I, Heft VI). 2 K 60 h.
- VIII. Bericht über das Graslitzer Erdbeben vom 24. Oktober bis 25. November 1897, von Friedrich Becke (Sitz. Ber., Bd. 107 [1898], Abt. I, Heft VII) . . . 5 K 40 h.
- IX. Bericht über die unterirdische Detonation von Melnik in Böhmen vom 8. April 1898, von Johann N. Woldřich (Sitz. Ber., Bd. 107 [1898], Abt. I, Heft X) — K 90 h.
- X. Allgemeiner Bericht und Chronik der im Jahre 1898 innerhalb des Beobachtungsgebietes erfolgten Erdbeben, zusammengestellt von Edmund v. Mojsisovics (Sitz. Ber., Bd. 108 [1899], Abt. I, Heft IV) 3 K 20 h.
- XI. Die Einrichtung der seismischen Station in Triest und die vom Horizontalpendel aufgezeichneten Erdbebenstörungen von Ende August 1898 bis Ende Februar 1899, von Eduard Mazelle (Sitz. Ber., Bd. 108 [1899], Abt. I, Heft V) 1 K — h.
- XII. Übersicht der Laibacher Osterbebenperiode für die Zeit vom 16. April 1895 bis Ende Dezember 1898, von Ferdinand Seidl (Sitz. Ber., Bd. 108 [1899], Abt. I, Heft V) — K 70 h.
- XIII. Bericht über das obersteierische Beben vom 27. November 1898, von Rudolf Hoernes (Sitz. Ber., Bd. 108 [1899], Abt. I, Heft V) 1 K 10 h.
- XIV. Bericht über die obersteierischen Beben des ersten Halbjahres 1899 (zumal über die Erschütterungen vom 1., 7. und 29. April), von Rudolf Hoernes (Sitz. Ber., Bd. 108 [1899], Abt. I, Heft VIII) 2 K 10 h.
- XV. Bericht über Erdbebenbeobachtungen in Kremsmünster, von Josef Schwab (Sitz. Ber., Bd. 109 [1900], Abt. I, Heft II) 1 K 10 h.
- XVI. Bericht über das niederösterreichische Beben vom 11. Juni 1899, von F. Noë (Sitz. Ber., Bd. 109 [1900], Abt. I, Heft II) — K 60 h.
- XVII. Erdbebenstörungen zu Triest, beobachtet am Rebeur-Ehlerťschen Horizontalpendel vom 1. März bis Ende Dezember 1899, von Eduard Mazelle (Sitz. Ber., Bd. 109 [1900], Abt. I, Heft II) — K 90 h.

- XVIII. Allgemeiner Bericht und Chronik der im Jahre 1899 innerhalb des Beobachtungsgebietes erfolgten Erdbeben, zusammengestellt von Edmund v. Mojsisovics (Sitz. Ber., Bd. 109 [1900], Abt. I, Heft III) 3 K 30 h.
- XIX. Die tägliche periodische Schwankung des Erdbodens nach den Aufzeichnungen eines dreifachen Horizontalpendels zu Triest, von Eduard Mazelle (Sitz. Ber., Bd. 109 [1900], Abt. I, Heft VII) 3 K 20 h.
- XX. Über die Beziehungen zwischen Erdbeben und Detonationen, von Josef Knett (Sitz. Ber., Bd. 109 [1900], Abt. I, Heft IX) — K 80 h.
- XXI. Bericht über das Detonationsphänomen im Duppauer Gebirge am 14. August 1899, von Josef Knett (Sitz. Ber., Bd. 109 [1900], Abt. I, Heft IX) . . . 1 K — h.

Neue Folge.

- I. Bericht über die Erdbebenbeobachtungen in Lemberg, von W. Lá s k a 1 K 90 h.
- II. Allgemeiner Bericht und Chronik der im Jahre 1900 im Beobachtungsgebiete eingetretenen Erdbeben, von Edmund v. Mojsisovics 2 K 30 h.
- III. Bericht über die seismischen Ereignisse des Jahres 1900 in den deutschen Gebieten Böhmens, von V. Uhlig 2 K 50 h.
- IV. Bericht über die Erdbebenbeobachtungen in Kremsmünster im Jahre 1900, von P. Franz Schwab — K 60 h.
- V. Erdbebenstörungen zu Triest, beobachtet am Rebeur-Ehlert'schen Horizontalpendel im Jahre 1900, von Eduard Mazelle 1 K — h.
- VI. Das nordostböhmisches Erdbeben vom 10. Jänner 1901, von J. N. Woldřich 1 K 60 h.
- VII. Erdbeben und Stoßlinien Steiermarks, von R. Hoernes 2 K 10 h.
- VIII. Die Erdbeben Polens. Des historischen Teiles I. Abteilung, von W. Lá s k a — K 80 h.
- IX. Bericht über die Erdbeben-Beobachtungen in Lemberg während des Jahres 1901, von Prof. Dr. W. Lá s k a 1 K 10 h.
- X. Allgemeiner Bericht und Chronik der im Jahre 1901 im Beobachtungsgebiete eingetretenen Erdbeben, von Edmund v. Mojsisovics 1 K 10 h.
- XI. Erdbebenstörungen zu Triest, beobachtet am Rebeur-Ehlert'schen Horizontalpendel im Jahre 1901, nebst einem Anhang über die Aufstellung des Vicentini'schen Mikroseismographen, von Eduard Mazelle 1 K 20 h.
- XII. Bericht über die Erdbebenbeobachtungen in Kremsmünster im Jahre 1901, von Prof. P. Franz Schwab — K 40 h.
- XIII. Das Erdbeben von Saloniki am 5. Juli 1902 und der Zusammenhang der makedonischen Beben mit den tektonischen Vorgängen in der Rhodopemasse, von R. Hoernes 2 K — h.
- XIV. Über die Berechnung der Fernbeben, von Prof. Dr. W. Lá s k a . . . — K 30 h.
- XV. Die mikroseismische Pendelunruhe und ihr Zusammenhang mit Wind und Luftdruck, von Eduard Mazelle 2 K 60 h.
- XVI. Vorläufiger Bericht über das erzgebirgische Schwarmbeben vom 13. Februar bis 25. März 1903, mit einem Anhang über die Nacherschütterungen bis Anfang Mai, von J. Knett — K 80 h.
- XVII. Das Erdbeben von Sinj am 2. Juli 1898, von A. Faidiga 2 K 90 h.
- XVIII. Das Erdbeben am Böhmischem Pfahl am 26. November 1902, von J. Knett — K 80 h.
- XIX. Allgemeiner Bericht und Chronik der im Jahre 1902 im Beobachtungsgebiete eingetretenen Erdbeben, von Edmund v. Mojsisovics, (Mit einem Anhang: Bericht über die Aufstellung zweier Seismographen in Přibram, von Dr. Hans Benndorf.) 2 K 60 h.
- XX. Erdbebenstörungen zu Triest, beobachtet am Rebeur-Ehlert'schen Horizontalpendel im Jahre 1902, von Eduard Mazelle 1 K 40 h.
- XXI. Bericht über die Erdbebenbeobachtungen in Kremsmünster im Jahre 1902, von F. Schwab — K 50 h.

- XXII. Bericht über die seismologischen Aufzeichnungen des Jahres 1902 in Lemberg, von Prof. Dr. W. Láska — K 70 h.
- XXIII. Über die Verwendung der Erdbebenbeobachtungen zur Erforschung des Erdinnern, von Prof. Dr. W. Láska — K 40 h.
- XXIV. Berichte über das makedonische Erdbeben vom 4. April 1904, von Prof. R. Hoernes 1 K — h.
- XXV. Allgemeiner Bericht und Chronik der im Jahre 1903 im Beobachtungsgebiete eingetretenen Erdbeben, von Edmund v. Mojsisovics 3 K 40 h.
- XXVI. Bericht über die Erdbebenbeobachtungen in Kremsmünster im Jahre 1903, von Prof. P. Franz Schwab — K 40 h.
- XXVII. Bericht über das Erdbeben in Untersteiermark und Krain am 31. März 1904, von Prof. Dr. R. Hoernes und Prof. F. Seidl 1 K — h.
- XXVIII. Jahresbericht des Geodynamischen Observatoriums zu Lemberg für das Jahr 1903, nebst Nachträgen zum Katalog der polnischen Erdbeben, von Prof. Dr. W. Láska — K 60 h.
- XXIX. Über die Art der Fortpflanzung der Erdbebenwellen im Erdinnern (I. Mitteilung), von Dr. Hans Benndorf — K 60 h.
-

Erdbebenstörungen zu Triest,
beobachtet am Rebeur-Ehlert'schen Horizontalpendel im
Jahre 1903, nebst einer Übersicht der bisherigen fünfjährigen
Beobachtungsreihe

von

Eduard Mazelle,

Referent der Erdbeben-Kommission der kaiserl. Akademie der Wissenschaften.

(Vorgelegt in der Sitzung am 18. Jänner 1906.)

Mit dieser Beobachtungsreihe schließt die unter den Auspizien der Wiener Akademie der Wissenschaften mit Ende August 1898 begonnene erste Beobachtungsreihe der seismischen Aufzeichnungen am k. k. maritimen Observatorium in Triest.¹

Eine außerordentliche Überbürdung durch amtliche Direktorsarbeiten verursachte die verspätete Vorlage dieser Beobachtungsergebnisse des Jahres 1903.

Die Registrierungen, wie auch die Nebenbeobachtungen über Temperatur und Feuchtigkeit der Luft in den Kellerlokalitäten wurden in der bisher beobachteten Form weitergeführt.

Gegen Ende des Jahres, und zwar am 26. Oktober, mußte das Horizontalpendel demontiert werden, da es nach mehr als fünfjähriger kontinuierlicher Arbeit zur Reparatur geschickt werden mußte, die Konkavspiegel neu versilbert, neue Stahlspitzen und Steinlager eingesetzt werden mußten. Auch die Uhr und die Registriertrommel erforderten Reparaturen.

¹ Ed. Mazelle, Mitteilungen der Erdbeben-Kommission, Nr. XI, XVII, XIX, wie auch V, XI, XV, XX neue Folge.

Die in den früheren Berichten veröffentlichten Temperaturtabellen finden für das Jahr 1903 nachfolgende Fortsetzung:

Temperaturen im Horizontalpendelraume.

Ablesung 12^h mittags.

1903, Jänner	1.....	10·1°	1903, Juni	5.....	15·6°
	6.....	10·4		10.....	15·7
	11.....	10·5		15.....	15·9
	16.....	9·9		20.....	16·1
	21.....	9·8		25.....	16·5
	26.....	9·6		30.....	16·7
	31.....	9·9			
Februar	5.....	9·9	Juli	5.....	17·4
	10.....	10·3		10.....	17·7
	15.....	10·4		15.....	17·6
	20.....	10·3		20.....	18·2
	25.....	10·4		25.....	18·5
				30.....	18·8
März	2.....	10·5	August	4.....	18·4
	7.....	10·6		9.....	18·9
	12.....	10·5		14.....	19·2
	17.....	10·6		19.....	19·5
	22.....	11·0		24.....	19·5
	27.....	11·5		29.....	19·6
April	1.....	11·8	September	3..	19·9
	6.....	11·9		8..	19·9
	11.....	11·9		13..	20·0
	16.....	11·8		18..	19·7
	21.....	11·5		23..	18·9
	26.....	11·7		28..	18·5
Mai	1.....	12·2	Oktober	3....	18·8
	6.....	12·8		8....	18·6
	11.....	13·1		13....	18·2
	16.....	13·5		18....	17·8
	21.....	13·9		23....	17·2
	26.....	14·6		28....	17·0
	31.....	15·0			

Die Temperatur des Horizontalpendelraumes bewegte sich zwischen $9\cdot4^\circ$ und $20\cdot0^\circ$, lag daher zwischen den aus den früheren Beobachtungsjahren gefundenen Grenzen von $9\cdot0^\circ$ und $20\cdot8^\circ$.

Die Veränderlichkeit der Temperatur von einem Tage zum anderen ist sehr klein. Die größte Veränderlichkeit betrug nur $0\cdot4^\circ$ und auch diese wurde bloß an vier Tagen beobachtet, während unter den 300 Beobachtungen an 115 Tagen gar keine Änderung von einer Mittagsbeobachtung zur anderen und an 113 Tagen eine Veränderlichkeit von $0\cdot1^\circ$ konstatiert wurde, mithin bei 76% sämtlicher Fälle nur eine Veränderlichkeit der Temperatur von höchstens $0\cdot1^\circ$ pro Tag zur Beobachtung gelangte. Die mittlere Veränderlichkeit der Temperatur erreichte in diesem Jahre den Betrag von $0\cdot09^\circ$.

Für die einzelnen Dekaden resultieren nachfolgende mittlere Veränderlichkeiten der Temperatur:

1903, Jänner	1. Dekade	$0\cdot06^\circ$
	2.	» $0\cdot10$
	3.	» $0\cdot11$
Februar	1.	» $0\cdot06$
	2.	» $0\cdot12$
	3.	» $0\cdot04$
März	1.	» $0\cdot05$
	2.	» $0\cdot08$
	3.	» $0\cdot10$
April	1.	» $0\cdot08$
	2.	» $0\cdot09$
	3.	» $0\cdot08$
Mai	1.	» $0\cdot12$
	2.	» $0\cdot09$
	3.	» $0\cdot13$
Juni	1.	» $0\cdot09$
	2.	» $0\cdot04$
	3.	» $0\cdot08$
Juli	1.	» $0\cdot16$
	2.	» $0\cdot13$
	3.	» $0\cdot09$

Mitteilungen der Erdbeben-Kommission.

1903, August	1. Dekade	0·10°
	2. »	0·09
	3. »	0·10
September	1. »	0·07
	2. »	0·08
	3. »	0·11
Oktober	1. »	0·06
	2. »	0·14
	3. »	0·10

Die relative Feuchtigkeit der Luft im Kellerraume der Horizontalpendel schwankte zwischen den Extremwerten von 78% und 97%.

Die Schwingungsdauer der einzelnen Pendel blieb dieselbe wie im vorangehenden Jahre, daher bei

Pendel <i>N</i> (W 60° N)	8·77 ^s
» <i>V</i> (W 60° S)	8·28
» <i>E</i> (E—W)	8·82

und demnach die Neigungsänderung der Pendelachse bei Bewegung des Lichtpunktes um 1 *mm* bei

Pendel <i>N</i>	0·031''.
» <i>V</i>	0·037
» <i>E</i>	0·031

Im Sinne der in der vierten allgemeiner Sitzung der zweiten internationalen seismologischen Konferenz in Straßburg einmütig geäußerten Wünsche, die Berichte über die Seismogramme so kurz als möglich zu fassen, werden hier für die einzelnen Beben die Eintrittszeiten des Beginnes (B.), des Hauptmaximums mit seiner Amplitude (Max. und A_m , letztere auf die ganze Ausschlagsweite bezogen) und die des Endes der seismischen Bewegung (E.) angegeben.

Für jede einzelne Störung wurde die hauptsächlichst durch Kontraktion des Papiere nach der photographischen Entwicklung hervorgerufene verschiedene Stundenlänge berücksichtigt, wie auch die Parallaxe der Lichtpunkte und der Blendenfall bei

der Markierung des Stundenbeginnes. Diese Korrekturen, wie auch der Uhrstand, der durch tägliche Vergleiche der Walzenuhr bestimmt wurde, wurden auf Hundertelminuten genau umgerechnet. Nur beim Ende der seismischen Störung, da dasselbe aus dem Seismogramme sehr selten genau angegeben werden kann, sind die Dezimalen der Minute bloß als Rechnungsergebnisse der angebrachten Korrektionsgrößen zu betrachten.

Die Stundenlänge in den Diagrammen resultiert hier durchschnittlich mit $43 \cdot 57 \text{ mm}$, mithin das bei der Ausmessung berücksichtigte Zehntelmillimeter dem mittleren Betrage von $0 \cdot 1377^m$ entspricht.

Als Lichtquelle zur photographischen Registrierung diente wie in den früheren Jahren eine kleine Gasflamme.

Die hier mitgeteilten Zeitangaben sind in mitteleuropäischer Zeit gehalten, die Stunden laufen von Mitternacht zu Mitternacht.

Bei der täglichen Bedienung der Seismographen, wie auch bei den ersten Ablesungen der Kurven leisteten ihre Mithilfe wie in den früheren Jahren der Adjunkt des Observatoriums, Herr Ing. Faidiga, und der Kanzleiassistent Herr Bartosch.

1903.

Nr. 1. 2. Jänner.

N... B. $14^h 1^m 30$; Max. $14^h 7^m 54$, $A_m 2 \cdot 0 \text{ mm}$;

E. $14^h 55^m 87$.

V und E... Mikroseismisch unruhig.

Nr. 2. 3. Jänner.

N... B. $23^h 39^m 93$; Max. $23^h 40^m 91$, $A_m 1 \cdot 9 \text{ mm}$;

E. $24^h 7^m 75$.

V und E... Mikroseismische Unruhe den ganzen Tag anhaltend.

Nr. 3. 4. Jänner.

N... B. $6^h 26^m 46$; Max. $7^h 4^m 14$, $A_m 11 \cdot 0 \text{ mm}$;

E. $8^h 9^m 59$.

V... B. 6^h 26^m39; Max. 6^h 50^m47, A_m 5·5 mm;
E. 7^h 19^m04.

E... Fortwährende mikroseismische Unruhe vorausgehend
und auch nachfolgend.

B. 6^h 26^m09; Max. 6^h 32^m89, A_m 7·5 mm;
E. unbestimmbar.

Nr. 4. 5. Jänner.

N... B. 2^h 3^m18; Max. 2^h 15^m65, A_m 2·0 mm;
E. 2^h 29^m21. Schwache Unruhe folgt.

V und E... Tagsüber mikroseismisch bewegt.

Nr. 5. 5. Jänner.

N... B. 23^h 20^m99; Max. 23^h 55^m06, A_m 8·0 mm;
E. 24^h 30^m24.

V... B. 23^h 20^m64; Max. 23^h 52^m19, A_m 2·0 mm;
E. 24^h 25^m83.

E... Tagsüber mikroseismische Unruhe.

Nr. 6. 6. Jänner.

N... B. 0^h 45^m68; Max. 0^h 46^m65, A_m 1·2 mm;
E. 1^h 3^m04.

V... Sehr schwache Unruhe.

E... Kontinuierlich mikroseismisch bewegt.

Nr. 7. 6. Jänner.

N... B. 18^h 13^m19; Max. 18^h 15^m66, A_m 1·1 mm;
E. 18^h 33^m42.

V... Ruhig.

E... Mikroseismische Unruhe.

Nr. 8. 9. Jänner.

N... Von 2^h 56^m66 bis 4^h 7^m08 mehrere Anschwellungen mit
 A_m 1·4 mm.

V und E... Fortwährende, ziemlich starke mikroseismische
Bewegung.

Nr. 9. 10. Jänner.

- N*... B. 2^h 48^m95; Max. 2^h 49^m63 und 2^h 54^m42, A_m 3·0 mm;
E. 3^h 23^m19.
- V*... Tagsüber schwache mikroseismische Unruhe anhaltend.
B. 2^h 49^m01; mehrere gleiche Maxima von 2^h 50^m92 bis
2^h 56^m13, A_m 2·7 mm; E. unbestimmbar.
- E*... Tagsüber mikroseismische Unruhe anhaltend.
B. 2^h 50^m07; Max. 2^h 53^m22, A_m 3·0 mm;
E. unbestimmbar.

Nr. 10. 14. Jänner.

Phasenreiche Störung.

- N*... B. 3^h 1^m45; Max. 3^h 16^m80, A_m 14·0 mm;
E. unbestimmbar.
- V*... B. und E. nicht bestimmbar; Max. 3^h 15^m19, A_m 9·5 mm.
- E*... B. 3^h 1^m22; Max. 3^h 12^m80, A_m 8·0 mm;
E. unbestimmbar.

Nr. 11. 17. Jänner.

- N*... B. 17^h 17^m44; Max. 17^h 31^m68, A_m 6·7 mm;
E. 18^h 18^m01.
- V*... B. und E. wegen fortwährender mikroseismischer Un-
ruhe nicht bestimmbar; Max. 17^h 32^m72, A_m 2·7 mm.
- E*... B. und E. wie bei Pendel *V*; Max. 17^h 31^m45, A_m 2·5 mm.

Nr. 12. 19. Jänner.

- N*... B. 13^h 53^m50; Max. 14^h 18^m87, A_m 2·4 mm;
E. 15^h 3^m86.
- V* und *E*... Tagsüber mikroseismisch bewegt.

Nr. 13. 20. Jänner.

- N*... Kleine Anschwellung mit Max. 9^h 52^m30, A_m 1·0 mm.
- V* und *E*... Mikroseismisch bewegt.

Nr. 14. 21. Jänner.

- N*... B. 4^h 17^m26; Max. 4^h 21^m63, A_m 1·2 mm;
E. 4^h 47^m53.
- V* und *E*... Mikroseismisch bewegt.

Nr. 15. 22. Jänner.

N... B. 0^h 57^m06; Max. 1^h 2^m41, A_m 1·3 *mm*;
E. 1^h 11^m20. Folgen noch bis 2^h leichte Schwingungen.
V und *E...* Namentlich ersterer tagsüber in kontinuierlicher Unruhe.

Nr. 16. 24. Jänner.

N... B. 6^h 52^m08; Max. von 7^h 13^m69 bis 7^h 19^m15, A_m 2·8 *mm*;
E. unbestimmbar.
V und *E...* Mikroseismisch unruhig.

Nr. 17. 24. Jänner.

N... B. und E. unbestimmbar; Max. 17^h 1^m54, A_m 8·4 *mm*.
V... Sehr starke mikroseismische Bewegung; A_m 7·4 *mm*.
E... B. und E. unbestimmbar; Max. 17^h 0^m75, A_m 2·2 *mm*.

Nr. 18. 30. Jänner.

N... B. 18^h 6^m73; Max. 18^h 10^m95, A_m 3·0 *mm*;
E. 19^h 28^m82; schwache Unruhe weiterdauernd.
V und *E...* Durch den ganzen Tag mikroseismische Unruhe.

Nr. 19. 1. Februar.

Phasenreiche Störung mit Pendelversetzung.

N... B. 10^h 43^m89; Pendelversetzung nach NE beginnt bei 11^h 3^m76 und erreicht den Betrag von 15·9 *mm*; dabei wird die Aufzeichnung undeutlich, bei 12^h immer noch Amplituden von 4·0 *mm*.
V... B. 10^h 43^m96; auch hier beginnt um 11^h 3^m55 eine Pendelversetzung, und zwar um 3·7 *mm* nach NW, bei 12^h noch Schwingungen mit A 2·0 *mm*.
E... B. und E. unbestimmbar wegen mikroseismischer Unruhe; Max. 11^h 12^m35, A_m 6·0 *mm*.

Nr. 20. 1. Februar.

N... B. 13^h 25^m24; Max. 13^h 35^m44, A_m 5·1 *mm*;

E. 14^h 27^m55.

V und *E...* Mikroseismisch unruhig.

Nr. 21. 1. Februar.

N... B. 18^h 37^m36; Max. 18^h 38^m45, A_m 2·6 *mm*;

E. 19^h 9^m75.

V und *E...* Fortwährende mikroseismische Unruhe.

Nr. 22. 2. Februar.

N... B. 11^h 10^m19; Max. 11^h 12^m98, A_m 11·5 *mm*;

E. 12^h 6^m55.

V und *E...* Mikroseismisch unruhig.

Nr. 23. 2. Februar.

N... B. 14^h 32^m59; Max. 14^h 58^m14, A_m 2·0 *mm*;

E. 15^h 29^m62.

V... B. und E. unbestimmbar; Max. 14^h 54^m95, A_m 1·2 *mm*.

E... Starke mikroseismische Unruhe tagsüber anhaltend.

Nr. 24. 3. Februar.

N... B. und E. unbestimmbar; Max. 13^h 46^m98, A_m 2·0 *mm*.

V und *E...* Tagsüber mikroseismische Unruhe.

Nr. 25. 4. Februar.

N... B. 7^h 38^m03; von 7^h 43^m60 bis 8^h 6^m29 gleichartige Anschwellung mit A_m 2·0 *mm*; E. 8^h 47^m64.

V... B. 7^h 35^m32; Max. 8^h 2^m05, A_m 1·2 *mm*;

E. 8^h 37^m69.

E... Mikroseismisch bewegt.

Nr. 26. 5. Februar.

N... B. 3^h 53^m65; Max. 4^h 4^m90, A_m 2·2 *mm*;

E. 4^h 14^m08.

Folgen schwache Schwingungen bis 4^h 48^m79.

10

Mitteilungen der Erdbeben-Kommission.

- V...* B. 3^h 51^m92; Max. 3^h 57^m89, A_m 1·3 mm;
E. 4^h 13^m87. Folgt schwache Unruhe.
E... Mikroseismisch bewegt.

Nr. 27. 5. Februar.

Phasenreiche Störung.

- N...* B. 19^h 56^m70; Max. 20^h 14^m56, A_m 7·8 mm;
E. 22^h 15^m50.
V... Schwache mikroseismische Unruhe vorausgehend, wie auch nachfolgend.
B. 19^h 56^m49; Max. 20^h 30^m71, A_m 6·5 mm;
E. unbestimmbar.
E... Kontinuierlich mikroseismische Unruhe; Max. 20^h 16^m78, A_m 3·6 mm.

Nr. 28. 6. Februar.

- N...* B. 8^h 53^m25; Max. 9^h 17^m10, A_m 19·0 mm;
E. 10^h 0^m50.
V... B. und E. unbestimmbar; Max. 9^h 8^m67, A_m 9·2 mm.
E... Mikroseismisch unruhig; Max. 9^h 11^m16, A_m 2·8 mm.

Nr. 29. 7. Februar.

- N...* B. 15^h 2^m23; Max. 15^h 17^m26, A_m 3·0 mm;
E. 15^h 39^m53.
V und *E...* Mikroseismisch unruhig.

Nr. 30. 8. Februar.

- N...* B. 6^h 46^m73; Max. 6^h 56^m34 und 6^h 59^m64, A_m 4·3 mm;
E. 7^h 22^m98.
V... B. 6^h 46^m39; Max. 6^h 51^m19, A_m 4·5 mm;
E. 7^h 22^m77.
E... Mikroseismisch unruhig.

Nr. 31. 9. Februar.

- N...* B. 6^h 24^m00; Max. 6^h 29^m44, A_m 5·0 mm;
E. 7^h 23^m59.

V... B. 6^h 27^m60; Max. 6^h 30^m32, A_m 4·0 mm; weiterer Verlauf wegen anhaltender Unruhe nicht angebar.

E... Tagsüber mikroseismisch bewegt.

Nr. 32. 11. Februar.

N... B. 17^h 23^m16; Max. 17^h 35^m09, A_m 7·0 mm;
E. 19^h 23^m72.

V... Anhaltende mikroseismische Unruhe, A_m 5·2 mm.

E... » » » A_m 2·0 mm.

Nr. 33. 11. Februar.

N... B. 22^h 0^m40; Max. 22^h 2^m76 und 22^h 4^m43, A_m 1·5 mm;
E. 22^h 18^m74.

V und E... Kontinuierliche schwache mikroseismische Unruhe.

Nr. 34. 12. Februar.

Phasenreiche Störung.

N... B. 19^h 54^m87; Max. 20^h 21^m92, A_m 7·9 mm;
E. 21^h 15^m91.

V... B. 19^h 54^m53; Max. 20^h 16^m66, A_m 5·0 mm;
E. 20^h 48^m36. Folgt schwache Unruhe.

E... B. 19^h 53^m68; Max. 20^h 12^m12, A_m 1·5 mm;
E. unbestimmbar.

Nr. 35. 16. Februar.

N... B. 1^h 59^m20; Max. 2^h 9^m56 und 2^h 13^m85, A_m 1·1 mm;
E. 2^h 32^m65.

V... B. 1^h 59^m55; Max. 2^h 12^m67, A_m 0·9 mm;
E. 2^h 14^m47.

E... Tagsüber schwache Unruhe.

Nr. 36. 16. Februar.

N... B. 20^h 59^m13; schwaches Zittern lange vorangehend;
Max. 20^h 59^m40, A_m 2·0 mm; E. 21^h 7^m04.

V... B. 20^h 59^m11; Max. 20^h 59^m40, A_m 3·8 mm;
E. 21^h 16^m16.

E... B. 20^h 59^m01; Max. 20^h 59^m28, A_m 8·0 mm;
E. 21^h 27^m65.

Nr. 37. 17. Februar.

Schwache Verdickung der Kurven; bei
N... Max. 2^h 33^m90, A_m 1·1 mm.

Nr. 38. 23. Februar.

N... B. 13^h 26^m05; Max. 13^h 35^m82, A_m 2·2 mm;
E. 13^h 48^m38.

V und *E...* Tagsüber mikroseismisch bewegt.

Nr. 39. 24. Februar.

Tagsüber starke mikroseismische Unruhe, namentlich bei
Pendel *N* und *V*; bei Pendel *N* ist bei 19^h 11^m59 der Beginn
einer seismischen Störung zu bemerken.

Nr. 40. 27. Februar.

Phasenreiche Störung, leichte Unruhe vor und nach der-
selben.

N... B. 2^h 4^m45; Max. 2^h 13^m31, A_m 9·4 mm;
E. 4^h 29^m67.

V und *E...* Stark mikroseismisch unruhig.

Nr. 41. 28. Februar.

N... B. 11^h 5^m47; Max. 11^h 7^m13, A_m 1·8 mm;
E. 11^h 54^m85.

V und *E...* Tagsüber mikroseismische Unruhe.

Nr. 42. 1. März.

N... B. 17^h 54^m21; Max. 17^h 56^m18, A_m 4·3 mm;
E. 18^h 43^m68.

V und *E...* Fortwährend mikroseismisch bewegt.

Nr. 43. 6. März.

N... B. 18^h 38^m42; Max. 18^h 40^m46, A_m 11·4 mm;
E. 19^h 38^m16.

V... Starke mikroseismische Unruhe.

E... B. 18^h 37^m64; Max. 18^h 41^m04, A_m 10·0 mm;
E. 19^h 21^m27.

Nr. 44. 12. März.

N... B. 15^h 30^m28; Max. 15^h 50^m83, A_m 6·0 mm;
E. 16^h 55^m65.

V... B. 15^h 32^m69; Max. 15^h 47^m17, A_m 5·7 mm;
E. 16^h 29^m24.

E... Kontinuierlich mikroseismische Unruhe.

Nr. 45. 13. März.

N... B. 16^h 25^m73; Max. 16^h 30^m16, A_m 1·0 mm;
E. 16^h 35^m68.

V... Ruhig.

E... Mikroseismisch unruhig.

Nr. 46. 15. März.

N... B. 7^h 52^m59; Max. 8^h 3^m70, A_m 1·1 mm;
E. 8^h 16^m89.

V und E... Schwache mikroseismische Unruhe.

Nr. 47. 15. März.

N... B. 15^h 36^m93; Max. 15^h 44^m75, A_m 2·8 mm;
E. 16^h 46^m95.

V... B. 15^h 30^m26; Max. 15^h 38^m78, A_m 1·9 mm;
E. 16^h 16^m53.

E... Schwache mikroseismische Unruhe.

Nr. 48. 15. März.

N... B. 20^h 36^m97; Max. 20^h 42^m42, A_m 9·7 mm;
E. 21^h 6^m69.

V... B. 20^h 37^m57; Max. 20^h 40^m98, A_m 3·0 mm;
E. 20^h 59^m67.

E... B. 20^h 35^m50; Max. 20^h 43^m01, A_m 3·0 mm;
E. wegen fortwährender mikroseismischer Unruhe unbestimmbar.

Nr. 49. 18. März.

N... B. 18^h 21^m29; Max. 18^h 21^m98, A_m 1·3 mm;
E. 18^h 32^m80.

14

Mitteilungen der Erdbeben-Kommission.

V... B. 18^h 20^m11; Max. 18^h 21^m63, A_m 1·2 mm;
E. unbestimmbar.

E... B. 18^h 19^m96; Max. 18^h 21^m33, A_m 1·2 mm;
E. unbestimmbar.

Nr. 50. 22. März.

N... B. 15^h 41^m79; Max. 16^h 12^m27, A_m 5·0 mm;
E. 17^h 21^m97.

V und *E*... Mikroseismische Unruhe.

Nr. 51. 23. März.

N... B. 18^h 51^m92; Max. 18^h 53^m86, A_m 1·1 mm;
E. 19^h 16^m63.

V und *E*... Mikroseismisch unruhig.

Nr. 52. 25. März.

N... B. 23^h 34^m65; Aufzeichnung undeutlich;
E. 24^h 11^m45.

V... B. 23^h 31^m83; Maximum nicht entnehmbar;
E. 24^h 9^m87.

E... B. 23^h 34^m28; Aufzeichnung undeutlich;
E. infolge mikroseismischer Bewegung unbestimmbar.

Nr. 53. 26. März.

N... B. 0^h 39^m60; Max. 0^h 43^m07, A_m 1·8 mm;
E. 1^h 15^m03.

V... B. 0^h 40^m37; Max. 0^h 41^m47, A_m 1·7 mm;
E. unbestimmbar.

E... Mikroseismisch unruhig.

Nr. 54. 26. März.

N... B. 10^h 0^m86; Max. 10^h 12^m59, A_m 2·7 mm;
E. unbestimmbar.

V... B. 10^h 1^m36; Max. 10^h 12^m38, A_m 3·0 mm;
E. 10^h 43^m08.

E... Mikroseismische Unruhe.

Nr. 55. 26. März.

N... B. 13^h 12^m47; Max. 13^h 14^m82, A_m 1·8 mm;
E. 13^h 38^m68.

V... Sehr schwache andauernde mikroseismische Unruhe.

E... B. 13^h 11^m96; Max. 13^h 15^m13, A_m 1·4 mm;
E. unbestimmbar.

Nr. 56. 28. März.

N... B. 9^h 8^m76; Max. 9^h 30^m05, A_m 5·5 mm;
E. 10^h 5^m55.

V... Aufzeichnung sehr undeutlich; B. 9^h 8^m97; E. 10^h 1^m16.

E... Tagsüber mikroseismische Unruhe.

Nr. 57. 28. März.

N... B. 11^h 0^m57; Max. 11^h 3^m32, A_m 3·7 mm;
E. 11^h 39^m25.

V... B. 11^h 0^m36; Max. 11^h 3^m25, A_m 6·0 mm;
E. 11^h 32^m85.

E... B. und E. unbestimmbar; Max. 11^h 2^m27, A_m 2·0 mm.

Nr. 58. 29. März.

N... B. 17^h 47^m12; Max. 18^h 3^m67, A_m 1·7 mm;
E. 18^h 9^m18.

V und *E...* Mikroseismisch unruhig.

Nr. 59. 30. März.

N... B. 2^h 20^m72; Max. 2^h 45^m26, A_m 2·2 mm;
E. 3^h 35^m71.

V und *E...* Kontinuierliche mikroseismische Unruhe.

Nr. 60. 30. März.

N... B. 4^h 40^m72; Max. 5^h 0^m67, A_m 6·2 mm;
E. 5^h 59^m17.

V und *E...* Kontinuierliche mikroseismische Unruhe.

Nr. 61. 30. März.

N... B. 6^h 9^m85; Max. 6^h 12^m58, A_m 2·0 mm;
E. 6^h 46^m84.

V und *E...* Mikroseismisch bewegt.

Nr. 62. 1. April.

N... B. 2^h 6^m33; Max. 2^h 9^m05, A_m 4·8 mm;
E. 2^h 41^m09.

V und *E...* Mikroseismisch bewegt.

Nr. 63. 1. April.

N... B. 16^h 3^m79; Max. 16^h 12^m65 bis 16^h 15^m38, A_m 1·0 mm;
E. 16^h 24^m93.

V und *E...* Schwach mikroseismisch unruhig.

Nr. 64. 3. April.

N... B. 10^h 53^m44; Max. 10^h 54^m81, A_m 1·5 mm;
E. unbestimmbar.

V und *E...* Fortwährende mikroseismische Unruhe.

Nr. 65. 3. April.

N... B. 11^h 27^m60; Max. 11^h 36^m67, A_m 2·8 mm;
E. 11^h 58^m99.

V... Fortwährende mikroseismische Unruhe.

E... Sehr schwache mikroseismische Unruhe.

Nr. 66. 3. April.

N... B. 22^h 14^m11; Max. 22^h 30^m48 und 22^h 36^m61, A_m 1·0 mm;
E. 22^h 53^m66.

V... B. 22^h 16^m64; Max. 22^h 25^m91 und 22^h 33^m54, A_m 1·0 mm;
E. unbestimmbar.

E... Tagsüber schwache mikroseismische Unruhe.

Nr. 67. 4. April.

N... B. 7^h 46^m57; Max. 7^h 51^m84 und 7^h 56^m83, A_m 2·0 mm;
E. 8^h 22^m40.

V... B. 7^h 46^m63; Max. 7^h 50^m09, A_m 2·6 mm;
E. 8^h 18^m02.

E... Tagsüber mikroseismisch bewegt.

Nr. 68. 7. April.

- N...* B. 10^h 9^m47; Max. 10^h 12^m89, A_m 1·8 mm;
E. 10^h 33^m40.
V... B. 10^h 8^m99; Max. 10^h 10^m49, A_m 1·0 mm;
E. unbestimmbar.
E... B. 10^h 9^m10; Max. 10^h 12^m38, A_m 1·2 mm;
E. 10^h 26^m05.

Nr. 69. 7. April.

- N...* B. 14^h 44^m94; Max. 14^h 48^m97, A_m 4·0 mm;
E. 15^h 30^m58.
V... Den ganzen Tag mikroseismische Unruhe.
E... B. 14^h 45^m10; Max. 14^h 48^m46, A_m 3·0 mm;
E. 15^h 32^m75.

Nr. 70. 7. April.

- N...* B. 21^h 23^m11; Max. 21^h 23^m53, A_m 1·3 mm;
E. 21^h 43^m71.
V und E... Kontinuierliche mikroseismische Unruhe.

Nr. 71. 9. April.

- N...* B. 15^h 39^m06; Max. 15^h 42^m07, A_m 2·8 mm;
E. 16^h 28^m49.
V... B. 15^h 38^m85; Max. 15^h 42^m69, A_m 1·0 mm;
E. 16^h 29^m65.
E... Fortwährende starke mikroseismische Unruhe.

Nr. 72. 12. April.

- N...* B. 4^h 33^m10; Max. 4^h 35^m28, A_m 4·2 mm;
E. 5^h 54^m51.
V... B. 4^h 26^m35; Max. 4^h 35^m21, A_m 3·0 mm;
E. 5^h 23^m62.
E... B. 4^h 27^m41; Max. 4^h 34^m91, A_m 1·2 mm;
E. wegen mikroseismischer Unruhe unbestimmbar.

Nr. 73. 16. April.

N... B. 4^h 11^m09; Max. 4^h 19^m82, A_m 1·2 mm;
E. 4^h 40^m26.

V... B. 4^h 10^m60; Max. 4^h 17^m56, A_m 1·0 mm;
E. 4^h 45^m51.

E... Ruhig.

Nr. 74. 19. April.

N... B. 14^h 38^m45; Max. 15^h 17^m19, A_m 1·8 mm;
E. 15^h 53^m21.

V... B. 14^h 37^m97; Max. von 14^h 43^m93 bis 14^h 50^m70,
 A_m 1·0 mm; E. 15^h 20^m50.

E... Kontinuierliche mikroseismische Unruhe.

Nr. 75. 21. April.

N... B. 3^h 17^m34; Max. 3^h 52^m45, A_m 2·1 mm;
E. 4^h 23^m70.

V... Fast ruhig.

E... Schwache mikroseismische Unruhe.

Nr. 76. 23. April.

N... B. 3^h 3^m58; Max. 3^h 6^m38, A_m 1·0 mm;
E. 3^h 16^m19.

V... Kleine Anschwellung, bei 3^h 7^m57 A_m 0·6 mm.

E... Tagsüber mikroseismische Unruhe.

Nr. 77. 24. April.

N... B. 6^h 53^m04; Max. 6^h 55^m64, A_m 2·9 mm;
E. 7^h 5^m40.

V... B. 6^h 53^m93; Max. 6^h 58^m59, A_m 1·2 mm;
E. 7^h 14^m80.

E... Ziemlich starke mikroseismische Unruhe durch den ganzen Tag bemerkbar.

Nr. 78. 28. April.

N... B. 16^h 6^m06; Max. 16^h 8^m77, A_m 3·4 mm;
E. 16^h 48^m45.

V... B. 16^h 6^m94; Max. 16^h 10^m46, A_m 1·9 mm;
E. 16^h 26^m57.

E... B. 16^h 7^m31; Max. 16^h 9^m75, A_m 2·1 mm;
E. 16^h 37^m11.

Nr. 79. 28. April.

N... B. 18^h 1^m13; Max. 18^h 7^m78, A_m 1·3 mm;
E. 18^h 26^m90.

V und E... Schwache andauernde Unruhe.

Nr. 80. 29. April.

Phasenreiche Störung mit Pendelversetzung. Wegen Versagens des photographischen Papiers ist die Aufzeichnung undeutlich, die Maxima sind daher nicht angebbbar, zu entnehmen ist nur:

N... B. 0^h 40^m17; Pendelversetzung nach SW beginnt um 0^h 49^m09 und erreicht den Betrag von 1·6 mm.

V und E... Bei 0^h 47^m36 beginnen die Aufzeichnungen unsichtbar zu werden.

Nr. 81. 29. April.

Phasenreiche Störung.

N... B. 5^h 28^m18; Max. 5^h 48^m68, A_m 6·2 mm;
E. 7^h 15^m43.

V... Stark mikroseismisch bewegt.

E... Schwache mikroseismische Unruhe.

Nr. 82. 30. April.

N... B. 19^h 11^m35; Max. 19^h 26^m36, A_m 1·6 mm;
E. 19^h 52^m47.

V... Anschwellung der Kurve von 19^h 16^m83 bis 19^h 20^m60 mit A_m 1·0 mm.

E... Mikroseismisch unruhig.

Nr. 83. 30. April.

N... B. 21^h 30^m77; Max. 21^h 34^m98, A_m 2·0 mm;
E. 21^h 59^m94.

20

Mitteilungen der Erdbeben-Kommission.

V... B. 21^h 25^m38; Max. 21^h 32^m67, A_m 1·8 mm;
E. 21^h 49^m91.
E... Fast ruhig.

Nr. 84. 1. Mai.

N... B. 11^h 25^m23; Max. 11^h 26^m90, A_m 1·2 mm;
E. 11^h 55^m51.
V und *E*... Ruhig.

Nr. 85. 9. Mai.

N... Von 14^h 22^m82 bis 14^h 45^m36 schwache Anschwellung,
 A_m 1·3 mm.
V und *E*... Ruhig.

Nr. 86. 9. Mai.

N... B. 18^h 11^m10; Max. 18^h 11^m52 und 18^h 19^m75, A_m 1·0 mm;
E. 19^h 2^m32.
V und *E*... Ruhig.

Nr. 87. 13. Mai.

Phasenreiche Störung.

N... B. 7^h 55^m12; Max. 8^h 6^m31, A_m 10·0 mm;
E. 9^h 44^m47.
V... B. 7^h 54^m91; Max. 8^h 7^m48, A_m 7·3 mm;
E. 9^h 16^m61.
E... B. 7^h 54^m61; Max. 8^h 14^m64, A_m 2·6 mm;
E. 8^h 34^m83.

Nr. 88. 15. Mai.

N... B. 13^h 7^m93; Max. 13^h 15^m47, A_m 3·2 mm;
E. 13^h 59^m56.
V... B. 13^h 7^m86; Max. 13^h 29^m35, A_m 1·2 mm;
E. 13^h 56^m56.
E... B. 13^h 6^m03; Max. 13^h 15^m65, A_m 1·3 mm;
E. 13^h 40^m91.

Nr. 89. 16. Mai.

N... B. 3^h 37^m29. Folgen einige schwache Anschwellungen,
 A_m 1·0 mm; E. unbestimmbar.
V und E... Fast ruhig.

Nr. 90. 17. Mai.

N... B. 1^h 57^m09; Max. 2^h 14^m66, A_m 3·8 mm;
E. 4^h 4^m98.
V... B. 1^h 57^m58; Max. 2^h 14^m58, A_m 2·2 mm;
E. 2^h 55^m64.
E... B. 1^h 56^m99; Max. 1^h 58^m66, A_m 1·0 mm;
E. unbestimmbar.

Nr. 91. 20. Mai.

N... B. 9^h 42^m39; Max. 9^h 48^m93, A_m 1·3 mm;
E. 10^h 5^m31.
V und E... Ruhig.

Nr. 92. 22. Mai.

N... Von 10^h 45^m49 bis 10^h 55^m08 schwache Anschwellung,
 A_m 0·9 mm.
V... Von 10^h 45^m28 bis 10^h 57^m61 schwache Anschwellung,
 A_m 0·8 mm.
E... Von 10^h 43^m61 bis 10^h 54^m57 schwache Anschwellung,
 A_m 1·0 mm.

Nr. 93. 23. Mai.

N... B. 23^h 27^m80; Max. 23^h 38^m22, A_m 3·0 mm;
E. 24^h 50^m03.
V... B. 23^h 27^m88; Max. 23^h 39^m54, A_m 1·3 mm;
E. 24^h 28^m99.
E... B. 23^h 27^m58; Max. 23^h 39^m79, A_m 3·4 mm;
E. 23^h 58^m13.

Nr. 94. 25. Mai.

N... B. 13^h 7^m68; Max. 13^h 14^m32, A_m 1·2 mm;
E. 13^h 26^m80.
V und E... Ruhig.

Nr. 95. 26. Mai.

N... B. 7^h 13^m13; Max. 7^h 24^m67, A_m 11·3 *mm*;
E. 8^h 5^m25.

V... B. 7^h 13^m20; Aufzeichnung lichtschwach; E. 7^h 49^m54.

E... B. 7^h 12^m90; » » E. 8^h 0^m50.

Nr. 96. 27. Mai.

N... B. 2^h 45^m13; Max. 2^h 51^m14, A_m 1·2 *mm*;
E. 3^h 6^m13.

V... Ruhig.

E... Von 2^h 46^m12 bis 2^h 52^m67 schwache Anschwellung,
 A_m 0·9 *mm*.

Nr. 97. 28. Mai.

N... B. 5^h 6^m22; Max. 5^h 15^m99 und 5^h 18^m78, A_m 2·8 *mm*;
E. 5^h 53^m66.

V... B. 5^h 6^m01; Max. 5^h 13^m69 bis 5^h 19^m27, A_m 1·6 *mm*;
E. 5^h 46^m48.

E... Kaum bemerkbare Unruhe.

Nr. 98. 28. Mai.

N... B. 15^h 18^m83; Max. 15^h 37^m99, A_m 2·2 *mm*;
E. 16^h 6^m38.

V... Von 15^h 18^m62 bis 15^h 34^m01 schwache Schwingungen,
 A_m 1·0 *mm*.

E... Ruhig.

Nr. 99. 29. Mai.

N... B. 5^h 59^m70; Max. 6^h 34^m85, A_m 2·5 *mm*;
E. 7^h 25^m92.

V... B. 5^h 59^m22; Max. 6^h 1^m14, A_m 1·1 *mm*;
E. 6^h 43^m15.

E... Ruhig.

Nr. 100. 29. Mai.

N... B. 10^h 36^m16; um 10^h 37^m52 Anfang einer Pendelver-
setzung nach SW um 1·8 *mm*;

Max. 10^h 45^m93, A_m 14·5 *mm*; E. 11^h 46^m76.

V... B. 10^h 35^m95; Aufzeichnung undeutlich; E. 11^h 22^m11.
E... B. 10^h 35^m65; Aufzeichnung lichtschwach; E. 11^h 27^m24.

Nr. 101. 31. Mai.

N... B. 9^h 18^m97; Max. 9^h 25^m11, A_m 2·0 mm;
E. 9^h 51^m06.
V... B. 9^h 19^m04; sehr schwache Unruhe, A_m 0·7 mm;
E. unbestimmbar.
E... B. 9^h 18^m46; Max. 9^h 22^m92, A_m 2·3 mm;
E. 9^h 40^m79.

Nr. 102. 2. Juni.

Phasenreiche Störung. Aufzeichnung infolge Versagens der Lichtquelle während der Hauptbewegung sehr undeutlich.

N... B. 14^h 29^m28; E. 16^h 30^m10.
V... B. 14^h 29^m21; E. 16^h 12^m29.
E... B. 14^h 29^m04; E. 16^h 14^m70.

Nr. 103. 2. Juni.

N... B. 19^h 19^m14; Max. 19^h 25^m16 und 19^h 30^m90, A_m 1·8 mm;
E. 19^h 55^m51.
V und E... Ruhig.

Nr. 104. 4. Juni.

N... B. 16^h 13^m50; Max. 16^h 37^m17 und 16^h 40^m71, A_m 8·2 mm;
E. 17^h 39^m21.
V... B. 16^h 13^m43; Max. 16^h 36^m42, A_m 1·4 mm;
E. 16^h 54^m11.
E... Schwache Unruhe.

Nr. 105. 7. Juni.

N... B. 10^h 19^m22; Max. 11^h 8^m55, A_m 4·0 mm;
E. 11^h 42^m79.
V... B. 10^h 19^m69; Max. 10^h 53^m27, A_m 3·2 mm;
E. 11^h 16^m56.
E... Ruhig.

Nr. 106. 8. Juni.

- N...* B. 6^h 37^m67; Max. 7^h 28^m93, A_m 1·8 mm;
E. 7^h 49^m43.
V... B. 6^h 37^m05; Max. 6^h 49^m76, A_m 3·5 mm;
E. 7^h 51^m95.
E... B. 6^h 46^m31; Max. 6^h 52^m87, A_m 1·4 mm;
E. 7^h 21^m58.

Nr. 107. 9. Juni.

- N...* B. 12^h 38^m77; Max. 12^h 43^m31, A_m 1·3 mm;
E. 13^h 11^m45.
V und E... Fast ruhig.

Nr. 108. 10. Juni.

- N...* B. 17^h 55^m90; Max. 18^h 18^m17, A_m 2·8 mm;
E. 18^h 32^m93.
V... B. 17^h 56^m52; Max. 18^h 20^m00, A_m 2·0 mm;
E. 18^h 45^m03.
E... Fast ruhig.

Nr. 109. 11. Juni.

- N...* B. 9^h 20^m85; Max. 9^h 34^m01, A_m 2·4 mm;
E. 10^h 10^m73.
V... B. 9^h 17^m86; Max. 9^h 34^m49, A_m 2·1 mm;
E. 9^h 56^m66.
E... Ruhig.

Nr. 110. 15. Juni.

- N...* Von 23^h 29^m72 bis 24^h 6^m70 schwache Anschwellung,
 A_m 1·1 mm.
V und E... Schwach mikroseismisch bewegt.

Nr. 111. 20. Juni.

- N...* B. 22^h 1^m36; Max. 22^h 3^m94, A_m 8·6 mm;
E. 22^h 59^m45.
V... B. 22^h 1^m16; Max. 22^h 7^m28, A_m 8·0 mm;
E. 22^h 36^m12.
E B. 22^h 1^m13; Max. 22^h 7^m25, A_m 4·0 mm;
E. 22^h 35^m82.

Nr. 112. 24. Juni.

N... B. 10^h 6^m50; Max. 10^h 16^m12, A_m 1·0 *mm*
E. 10^h 40^m03.
V und *E...* Ruhig.

Nr. 113. 24. Juni.

N... B. 14^h 14^m18; Max. 14^h 36^m81, A_m 1·4 *mm*;
E. 14^h 46^m69.
V... B. 14^h 15^m34; Max. 14^h 29^m84, A_m 1·2 *mm*;
E. 14^h 53^m27.
E... Ruhig.

Nr. 114. 24. Juni.

Phasenreiche Störung.

N... B. 16^h 54^m45; Max. 17^h 25^m41 und 17^h 26^m79, A_m 6·0 *mm*;
E. 18^h 6^m69.
V... B. 16^h 54^m39; Max. 17^h 17^m78, A_m 5·5 *mm*;
E. 17^h 52^m73.
E... B. 16^h 55^m75; Max. 17^h 18^m30, A_m 2·0 *mm*;
E. 17^h 37^m30.

Nr. 115. 24. Juni.

N... B. 19^h 47^m92; Max. 19^h 50^m95, A_m 2·0 *mm*;
E. 20^h 41^m56.
V und *E...* Fast ruhig.

Nr. 116. 25. Juni.

N... Von 14^h 23^m30 bis 14^h 56^m86 schwache Anschwellungen,
 A_m 1·2 *mm*.
V und *E...* Ruhig.

Nr. 117. 25. Juni.

N... B. 23^h 28^m67; Max. 23^h 49^m96, A_m 7·5 *mm*;
E. 24^h 35^m87.
V... B. 23^h 28^m75; Max. 23^h 46^m87, A_m 3·2 *mm*;
E. 24^h 17^m69.
E... Sehr schwache Unruhe.

Nr. 118. 26. Juni.

N... Kaum bemerkbare Anschwellung der Kurve.

V... B. 5^h 31^m93; Max. 5^h 32^m91 bis 5^h 35^m14, A_m 0·9 mm;
E. 5^h 42^m12.

E... B. 5^h 29^m26; Max. 5^h 33^m16 bis 5^h 36^m24, A_m 1·1 mm;
E. 5^h 51^m58.

Nr. 119. 1. Juli.

N... B. 4^h 20^m75; Max. von 4^h 22^m38 bis 4^h 25^m52, A_m 1·0 mm;
E. 4^h 28^m24.

V und *E*... Fast ruhig.

Nr. 120. 2. Juli.

N... B. 22^h 34^m27; Max. 22^h 44^m67, A_m 4·0 mm;
E. 23^h 46^m45.

V... B. 22^h 34^m48; Max. 22^h 58^m17, A_m 4·0 mm;
E. 23^h 35^m30.

E... B. 22^h 34^m45; Max. 22^h 39^m78, A_m 4·1 mm;
E. 23^h 19^m93.

Nr. 121. 4. Juli.

Aufzeichnung nach 5^h 30^m mit A_m 2·0 mm.

Details entfallen wegen Versagens der Stundenblende.

Nr. 122. 10. Juli.

N... B. 0^h 40^m43; Max. 0^h 40^m99, 0^h 44^m03 und 0^h 49^m28,
 A_m 1·0 mm; E. 1^h 5^m87.

V... Schwache Anschwellung; bei 0^h 49^m08, A_m 0·9 mm.

E... Ruhig.

Nr. 123. 10. Juli.

N... B. 10^h 32^m36; Max. 10^h 47^m01, A_m 1·4 mm;
E. 11^h 27^m15.

V... B. 10^h 32^m16; Max. 10^h 36^m40, A_m 1·0 mm;
E. 10^h 56^m82.

E... Von 10^h 29^m80 bis 10^h 31^m86 schwache Anschwellung,
 A_m 0·9 mm.

Nr. 124. 11. Juli.

- N*... B. 13^h 25^m98; Max. 13^h 31^m57, A_m 8·7 mm;
E. 14^h 7^m84.
V... B. 13^h 26^m75; Max. 13^h 32^m20, A_m 6·0 mm;
E. 13^h 55^m08.
E... B. 13^h 25^m48; Max. 13^h 30^m64, A_m 2·3 mm;
E. 13^h 54^m78.

Nr. 125. 12. Juli.

- N*... B. 6^h 40^m96; Max. 7^h 1^m37, A_m 3·2 mm;
E. 8^h 5^m48.
V... B. 6^h 40^m49; Max. 6^h 48^m02, A_m 1·7 mm;
E. 7^h 22^m81.
E... Ruhig.

Nr. 126. 14. Juli.

- N*... Von 8^h 22^m73 bis 8^h 58^m43 Verdickung der Kurve,
 A_m 1·3 mm.
V und *E*... Ruhig.

Nr. 127. 16. Juli.

- N*... Von 19^h 36^m82 bis 20^h 12^m93 schwache Anschwellung,
 A_m 1·1 mm.
V... Schwache knotenförmige Bildung von 19^h 38^m00 bis
19^h 40^m79, A_m 0·9 mm.
E... Ruhig.

Nr. 128. 19. Juli.

- N* und *V*... Ruhig.
E... B. 14^h 21^m86; Max. 14^h 26^m76, A_m 1·7 mm;
E. 14^h 44^m99.

Nr. 129. 19. Juli.

- N*... B. 19^h 11^m53; Max. 19^h 17^m08, A_m 11 5 mm;
E. 20^h 7^m11.
V... B. 19^h 11^m33; Max. 19^h 19^m80, A_m 7·4 mm;
E. 19^h 50^m28.
E... B. 19^h 10^m76; Max. 19^h 16^m87, A_m 3·8 mm;
E. 19^h 36^m12.

Nr. 130. 23. und 24. Juli.

- N...* B. 23^h 53^m29; Max. 0^h 4^m43, A_m 2·8 mm;
E. 1^h 25^m17.
V... B. 23^h 52^m81; Max. 0^h 1^m72 und 0^h 28^m86, A_m 1·0 mm;
E. 1^h 24^m97.
E... Fast ruhig.

Nr. 131. 26. Juli.

- N...* B. 3^h 36^m12; Max. 3^h 39^m98, A_m 1·5 mm;
E. 4^h 3^m37.
V... B. 3^h 36^m34; Max. 3^h 37^m03, A_m 1·2 mm;
E. 3^h 54^m92.
E... Bei 3^h 36^m73 schwache Anschwellung, A_m 0·9 mm.

Nr. 132. 26. Juli.

- N...* B. 4^h 28·84; Max. von 4^h 31^m58 bis 4^h 34^m31, A_m 1·4 mm;
E. 4^h 49^m38.
V... B. 4^h 29^m32; Max. 4^h 29^m86, A_m 1·6 mm;
E. 4^h 45^m08.
E... Fast ruhig.

Nr. 133. 27. Juli.

- N...* B. 1^h 36^m27; Max. 1^h 38^m10, A_m 2·0 mm;
E. 2^h 25^m99.
V... B. 1^h 36^m35; Max. 1^h 39^m59, A_m 1·2 mm;
E. 2^h 4^m66.
E... B. 1^h 36^m20; Max. 1^h 39^m01 und 1^h 43^m24, A_m 1·4 mm;
E. 2^h 26^m89.

Nr. 134. 27. Juli.

- N...* B. 4^h 47^m08; Max. von 4^h 49^m56 bis 4^h 52^m31, A_m 1·0 mm;
E. 5^h 15^m72.
V... B. 4^h 46^m61; Max. 4^h 51^m29, A_m 2·0 mm;
E. 5^h 3^m12.
E... B. 4^h 46^m58; Max. 4^h 51^m67, A_m 3·0 mm;
E. 5^h 15^m22.

Nr. 135. 27. Juli.

Aufzeichnung durch Streifenwechsel gestört.

N... B. 11^h 50^m58; Max. 12^h 12^m53, A_m 2·3 *mm*.

V... B. 11^h 50^m38; Max. 11^h 56^m78, A_m 1·4 *mm*.

E... Fast ruhig.

Nr. 136. 28. Juli.

N... B. 5^h 5^m59; Max. von 5^h 8^m52 bis 5^h 22^m33, A_m 1·1 *mm*;

E. 5^h 46^m05.

V und *E...* Ruhig.

Nr. 137. 3. August.

N... B. 0^h 14^m00; Max. 0^h 25^m67, A_m 2·0 *mm*;

E. 1^h 49^m56.

V... B. 0^h 14^m35; Max. 0^h 24^m24 bis 0^h 26^m71 und
0^h 51^m55 bis 0^h 56^m51, A_m 1·0 *mm*;

E. 1^h 10^m92.

E... Kaum merkbare Bewegung.

Nr. 138. 6. August.

N... B. 1^h 33^m40; Max. 1^h 37^m03, A_m 1·6 *mm*;

E. 1^h 54^m10.

V und *E...* Fast ruhig.

Nr. 139. 6. August.

N... B. 4^h 52^m57; Max. 5^h 4^m70, A_m 11·0 *mm*;

E. 6^h 3^m73.

V... B. 4^h 52^m37; Max. 5^h 6^m32, A_m 10·0 *mm*;

E. 5^h 55^m16.

E... B. 4^h 52^m35; Max. 4^h 54^m03, A_m 2·2 *mm*;

E. 6^h 3^m23.

Nr. 140. 6. August.

N... Von 7^h 59^m53 bis 8^h 23^m04 schwache Knotenbildungen,
 A_m 1·2 *mm*.

V... Von 7^h 57^m95 bis 8^h 18^m41 Anschwellung, A_m 1·0 *mm*.

E... Kaum bewegt.

Nr. 141. 11. August.

Nahebeben; Aufzeichnung wegen Versagens der Lichtquelle undeutlich.

Nach dem Vicentini'schen Mikroseismographen:

B. 5^h 35^m51, Max. 5^h 37^m98, A_m 53·5 mm; E. 5^h 59^m98.

Nr. 142. 12. August.

N... Von 1^h 46^m81 bis 2^h 28^m25 knotenförmige Bildungen, A_m 1·1 mm.

V... Von 1^h 49^m09 bis 2^h 18^m68 schwache Anschwellung, A_m 0·9 mm.

E... Fast ruhig.

Nr. 143. 13. August.

N... B. 17^h 0^m17; Max. 17^h 39^m89, A_m 4·0 mm;
E. 18^h 18^m79.

V... B. 17^h 0^m09; Max. 17^h 35^m54, A_m 1·8 mm;
E. 18^h 10^m72.

E... B. 16^h 58^m76; folgen einige schwache Anschwellungen, A_m 1·0 mm; E. unbestimmbar.

Nr. 144. 16. August.

N... B. 4^h 20^m33; Max. 4^h 41^m56, A_m 2·2 mm;
E. 5^h 50^m12.

V... B. 4^h 20^m26; Max. 4^h 48^m83, A_m 1·4 mm;
E. 5^h 24^m47.

E... Schwache Unruhe.

Nr. 145. 16. August.

N... B. 14^h 54^m08; Max. 15^h 20^m94, A_m 1·7 mm;
E. 15^h 57^m29.

V... B. 14^h 53^m86; folgt schwache Unruhe.

E... Tagsüber leichte mikroseismische Unruhe.

Nr. 146. 17. August.

N... B. 8^h 45^m06; Max. 8^h 45^m47, A_m 1·2 mm;
E. 8^h 51^m91.

- V... B. 8^h 45^m11; Max. 8^h 45^m67, A_m 1·5 mm;
E. 8^h 50^m73.
E... B. 8^h 45^m03; Max. 8^h 46^m12, A_m 2·0 mm;
E. unbestimmbar.

Nr. 147. 19. August.

- N... B. 10^h 22^m26; Max. 10^h 29^m12, A_m 1·0 mm;
E. 11^h 20^m49.
V... B. 10^h 21^m09; Max. von 10^h 33^m42 bis 10^h 43^m02,
 A_m 1·2 mm; E. 11^h 24^m80.
E... Von 10^h 20^m59 bis 10^h 55^m54 schwache Anschwellung,
 A_m 1·0 mm.

Nr. 148. 29. August.

- N... B. 16^h 37^m26; Max. 16^h 45^m92, A_m 3·0 mm;
E. 17^h 27^m79.
V... Von 16^h 43^m23 bis 16^h 57^m79 schwache Anschwellung,
 A_m 1·0 mm.
E... Kaum bemerkbare Unruhe.

Nr. 149. 3. September.

- N... B. 7^h 18^m28; Max. 7^h 20^m53, A_m 1·6 mm;
E. 8^h 20^m96.
V und E... Ruhig.

Nr. 150. 7. September.

Phasenreiche Störung.

- N... B. 8^h 30^m88; Max. 8^h 43^m93, A_m 9·0 mm;
E. 10^h 18^m94.
V... B. 8^h 32^m32; Max. 8^h 44^m68, A_m 2·8 mm;
E. 10^h 9^m53.
E... B. 8^h 31^m81; Max. 8^h 40^m74, A_m 1·6 mm;
E. 9^h 44^m31.

Nr. 151. 9. September.

- N... Von 4^h 43^m86 bis 5^h 5^m79 schwache Anschwellung,
 A_m 0·9 mm.
V und E... Ruhig.

Nr. 152. 9. September.

N... Von 6^h 35^m64 bis 7^h 12^m62 Kurvenverdickung,
 A_m 1·4 mm.

V... Ruhig.

E... Schwache mikroseismische Unruhe.

Nr. 153. 12. September.

N... Schwache Anschwellung von 11^h 11^m82 bis 11^h 43^m47,
 A_m 1·2 mm.

V... Ruhig.

E... Tagsüber schwache mikroseismische Unruhe.

Nr. 154. 12. September.

N... B. 21^h 52^m48; Max. 21^h 55^m90, A_m 2·6 mm;
E. 22^h 22^m95.

V... Fast ruhig.

E... B. 21^h 52^m18; Max. 21^h 55^m05, A_m 1·0 mm;
E. 22^h 21^m28.

Nr. 155. 13. September.

N... B. 0^h 11^m85; Max. 0^h 12^m14, A_m 6·6 mm;
E. 0^h 58^m78.

V... B. 0^h 11^m79; Max. 0^h 12^m21, A_m 7·2 mm;
E. 0^h 45^m23.

E... B. 0^h 10^m59; Max. 0^h 13^m07, A_m 4·5 mm;
E. 0^h 59^m86.

Nr. 156. 13. September.

N... B. 9^h 4^m12; Max. 9^h 10^m53, A_m 5·4 mm;
E. 9^h 56^m86.

V... B. 9^h 4^m33; Aufzeichnung undeutlich; E. 9^h 41^m72.

E... B. 9^h 4^m10; Max. 9^h 9^m12, A_m 3·0 mm;
E. unbestimmbar.

Nr. 157. 13. September.

N... B. 16^h 36^m19; Max. 16^h 56^m41, A_m 8·5 mm;
E. 18^h 2^m41.

V... B. 16^h 36^m40; Aufzeichnung lichtschwach;
E. 17^h 34^m72.

E... Tagsüber mikroseismische Unruhe.

Nr. 158. 13. September.

N... B. 20^h 11^m76; Max. 20^h 17^m48, A_m 6·2 mm;
E. 21^h 0^m84.

V... Von 20^h 14^m70 bis 20^h 43^m33 schwache Unruhe,
 A_m 1·0 mm.

E... Tagsüber mikroseismische Unruhe.

Nr. 159. 17. September.

N... Von 14^h 30^m98 bis 15^h 8^m47 leichte Anschwellungen,
 A_m 1·0 mm.

V und E... Fast ruhig.

Nr. 160. 18. September.

N... Von 19^h 41^m67 bis 20^h 31^m22 eine Kurvenverdickung,
 A_m 1·5 mm.

V... Ruhig.

E... Kontinuierliche schwache mikroseismische Unruhe.

Nr. 161. 23. September.

N... B. 2^h 50^m05; Max. 2^h 50^m60, A_m 7·0 mm;
E. 3^h 20^m33.

V... B. 2^h 49^m17; Aufzeichnung undeutlich; E. 3^h 27^m36.

E... Von 2^h 48^m66 bis 3^h 17^m31 schwache Unruhe,
 A_m 1·4 mm.

Nr. 162. 23. September.

N... B. 10^h 54^m69; Max. 11^h 0^m69, A_m 2·5 mm;
E. 11^h 33^m48.

V und E... Mikroseismisch unruhig.

Nr. 163. 25. September.

N... B. 2^h 27^m94; Max. 2^h 47^m63, A_m 3·3 mm;
E. 3^h 16^m88.

V und E... Schwache Unruhe.

Nr. 164. 28. September.

N... B. 17^h 24^m10; Max. 17^h 25^m92, A_m 1·2 *mm*;
E. 17^h 49^m64.

V... Schwache, kaum 1·0 *mm* erreichende Unruhe.

E... Kontinuierliche, sehr schwache mikroseismische Bewegung.

Nr. 165. 7. Oktober.

N... B. 12^h 47^m48; Max. 12^h 50^m27 bis 12^h 53^m07, A_m 1·4 *mm*;
E. 13^h 12^m60.

V... Ruhig.

E... Schwach mikroseismisch bewegt.

Nr. 166. 10. Oktober.

N... B. 17^h 52^m92; Max. 18^h 4^m52 und 18^h 48^m54, A_m 1·5 *mm*;
E. 19^h 27^m09.

V... B. 17^h 55^m72; Max. 18^h 25^m51, A_m 1·5 *mm*;
E. 19^h 12^m25.

E... B. 17^h 53^m84; Max. 18^h 35^m52, A_m 1·0 *mm*;
E. 19^h 26^m79.

Nr. 167. 12. Oktober.

N... B. 18^h 18^m54; Max. 18^h 18^m95, A_m 1·3 *mm*;
E. 18^h 45^m81.

V... Ruhig.

E... Mikroseismisch bewegt.

Nr. 168. 14. Oktober.

N... B. 4^h 37^m86; Max. 4^h 42^m67, A_m 2·4 *mm*;
E. 5^h 34^m16.

V... Von 4^h 32^m58 bis 5^h 4^m16 schwache Stöße, A_m 1·0 *mm*.

E... Tagsüber ziemlich starke mikroseismische Unruhe.

Nr. 169. 19. Oktober.

N... B. 4^h 15^m29; Max. 4^h 26^m20, A_m 4·6 *mm*;
E. 5^h 11^m20.

V... B. 4^h 16^m04; Aufzeichnung undeutlich, ersichtlich sind Amplituden von 2·8 *mm*; E. 5^h 0^m50.

E... Durch mikroseismische Unruhe verdeckt.

Nr. 170. 21. Oktober.

Bei 11^h 11^m seismische Störung. Ausmessung entfällt, weil die Aufzeichnung zu lichtschwach ist.

Nr. 171. 23. Oktober.

N... B. 3^h 59^m23; Max. 4^h 16^m42, A_m 5·8 mm;
E. 5^h 5^m37.

V... Undeutliche Aufzeichnung.

E... Tagsüber mikroseismisch bewegt.

Nr. 172. 23. Oktober.

N... B. 15^h 20^m67; Max. 15^h 33^m77, A_m 3·3 mm;
E. 16^h 15^m84.

V... Aufzeichnung undeutlich.

E... Tagsüber mikroseismisch bewegt.

Nr. 173. 24. Oktober.

N... Von 2^h 32^m25 bis 3^h 27^m68 mehrere Stöße;
Max. 3^h 9^m81, A_m 1·3 mm.

V... Ruhig.

E... Tagsüber mikroseismisch bewegt.

Die hier mitgeteilten Aufzeichnungen des Jahres 1903 ergeben mit den in den früheren Berichten veröffentlichten seismischen Störungen für die Periode vom 31. August 1898 bis zum 26. Oktober 1903 im ganzen 1039 Bebenaufzeichnungen.

Die Frequenzverteilung in den einzelnen Jahren ist die nachfolgende:

	1898	1899	1900	1901	1902	1903
Jänner	—	19	16	5	19	18
Februar	—	15	12	16	23	23
März	—	18	9	12	27	20
April	—	14	9	12	21	22
Mai	—	16	12	13	18	18
Juni	—	16	18	13	19	17

	1898	1899	1900	1901	1902	1903
Juli	—	21	11	19	26	18
August	(1)	18	14	21	38	12
September ..	21	23	13	20	20	16
Oktober ...	12	18	13	21	17	(9)
November ..	15	13	13	18	17	—
Dezember ..	16	14	6	16	19	—

Auf ein mittleres Jahr entfallen demnach, wenn die vier Monate des Jahres 1898 berücksichtigt werden, unter Hinweglassung des September 1903 und des Rumpfmonates Oktober 1903, mithin aus vollen fünf Jahrgängen, nachfolgende Frequenzgrößen.

Häufigkeit der Erdbebenstörungen.

	Mittleres Jahr	Monate gleicher Länge (30·42 Tage)
Jänner	15·4	15·1
Februar	17·8	19·3
März	17·2	16·9
April	15·6	15·8
Mai	15·4*	15·1*
Juni	16·6	16·8
Juli	19·0	18·6
August	20·6	20·2
September ..	19·4	19·7
Oktober	16·2	15·9
November ...	15·2	15·4
Dezember ...	14·2*	13·9*

Diese Reihen bestätigen den bereits für Triest auch in der XX. Mitteilung dieser Erdbeben-Kommission (neue Folge) nachgewiesenen jährlichen Gang der Häufigkeit der Erdbebenaufzeichnungen, mit den Maxima im Februar und August und den Minima im Mai und Dezember.

Durchschnittlich entfallen auf ein Jahr 203 Störungen, mithin eine Aufzeichnung mindestens jeden zweiten Tag (1·8 Tag).

Wollen wir diese jährliche Verteilung durch eine Sinusgleichung darstellen, so erhalten wir zur Bestimmung der Amplituden und der Phasenzeiten nachfolgende Koeffizienten:

$$\begin{aligned} a_1 &= -1.340, & a_2 &= +0.592 \\ b_1 &= -0.298, & b_2 &= +2.151 \end{aligned}$$

und daraus die Gleichung

$$y = 16.89 + 1.373 \sin(257^\circ 28' + x.30^\circ) + 2.151 \sin(15^\circ 23' + x.60^\circ),$$

wobei $x = 0$ für Mitte Jänner und $x = 11$ für Mitte Dezember zu setzen ist.

Der nach dieser Sinusgleichung berechnete jährliche Gang der Häufigkeit der Erdbebenstörungen in Monaten gleicher Länge gibt nachfolgende regelmäßige Doppelschwankung:

Jänner	16.14	— 0.75
Februar	17.74	+ 0.85
März	17.53	+ 0.64
April	16.00	— 0.89
Mai	15.14*	— 1.75*
Juni	16.33	— 0.56
Juli	18.82	+ 1.93
August	20.36	+ 3.47
September	19.39	+ 2.50
Oktober	16.60	— 0.29
November	14.32	— 2.57
Dezember	14.31*	— 2.58*

Die Frequenzmaxima im Februar und August zeigen 17.7 beziehungsweise 20.4 und die Minima im Mai und Dezember 15.1 und 14.3 seismische Störungen.